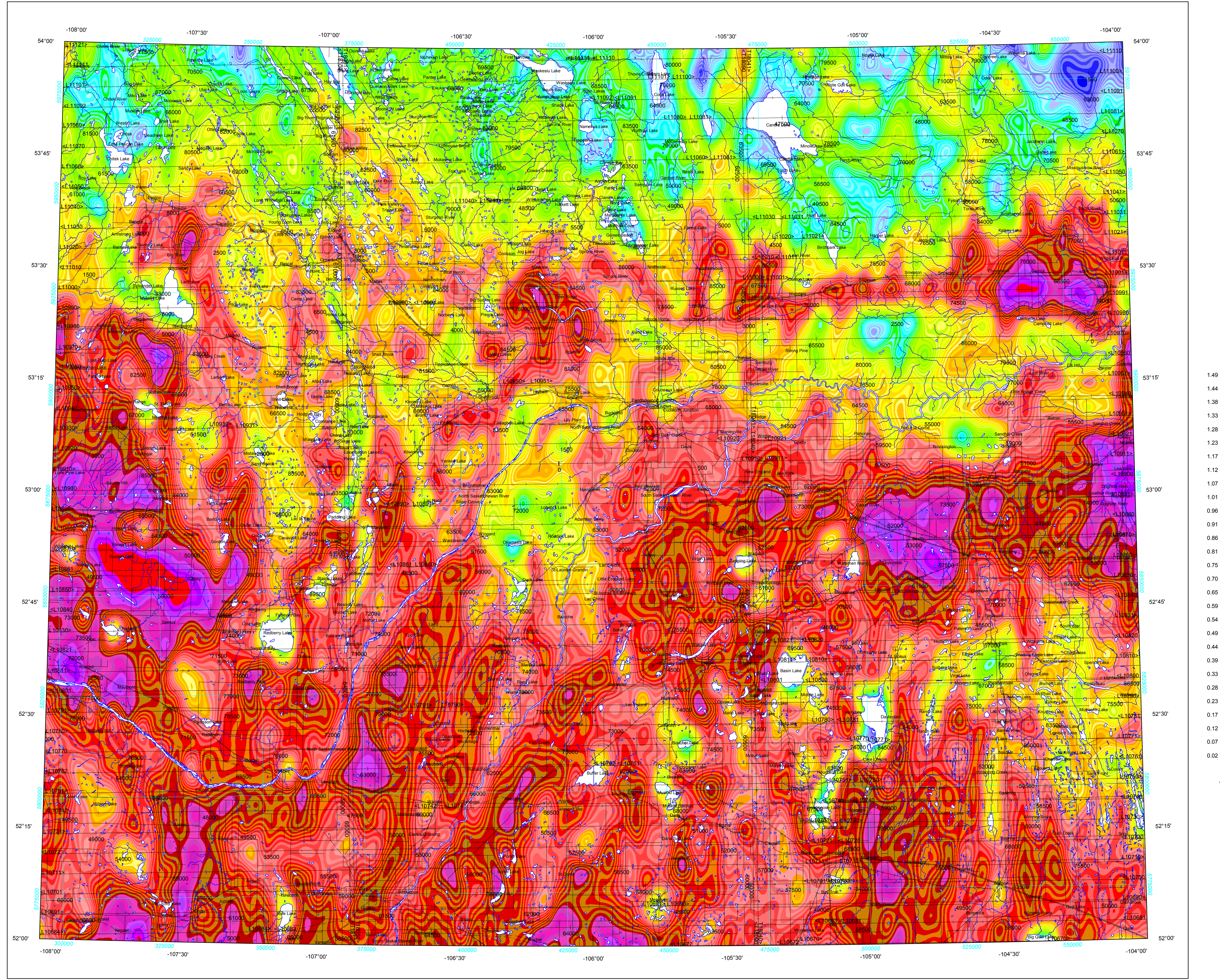


SÉRIE DES CARTES GÉOPHYSIQUES  
POTASSIUM

GEOPHYSICAL SERIES  
POTASSIUM



This map was produced by Natural Resources Canada in co-operation with Health Canada.

Cette carte a été produite par Ressources naturelles Canada en collaboration avec Santé Canada.

GSC OPEN FILE 6741 / DOSSIER PUBLIC 6741 DE LA CGC

GEOPHYSICAL SERIES / SÉRIE DES CARTES GÉOPHYSIQUES  
NTS 73 A, 73 B, 73 G, and 73 H / SNRC 73 A, 73 B, 73 G et 73 H

AIRBORNE GEOPHYSICAL SURVEY, PRINCE ALBERT, SASKATCHEWAN  
LEVÉ GÉOPHYSIQUE AÉROPORTÉ, PRINCE ALBERT, SASKATCHEWAN

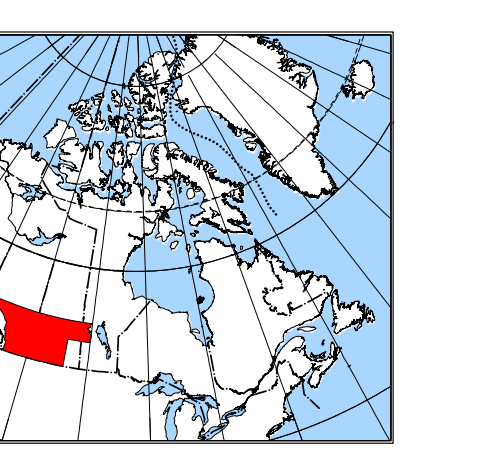
Authors: Carson, J.M., Ford, K.L., Hefford, S.,  
Fortin, R. and Harvey, B.J.A.  
Data acquisition, compilation and map production by Fugro Airborne Surveys, Ottawa, Ontario. Contract and project management by the Geological Survey of Canada, Ottawa, Ontario.

Auteurs: Carson, J.M., Ford, K.L., Hefford, S.,  
Fortin, R. et Harvey, B.J.A.  
L'acquisition, la compilation des données ainsi que la production des cartes furent effectuées par Fugro Airborne Surveys, Ottawa, Ontario. La gestion et la supervision du projet furent effectuées par la Commission géologique du Canada, Ottawa, Ontario.

## POTASSIUM

Scale 1:500 000 - Échelle 1/500 000

kilometres  
10 0 10 20 30 40 kilomètres  
NAD83 / UTM zone 13N



Universal Transverse Mercator Projection  
NAD83 / UTM zone 13N  
© Her Majesty the Queen in Right of Canada 2011  
Projection transverse universelle de Mercator  
Système de coordonnées géographiques NAD83  
© Sa Majesté la Reine du chef du Canada 2011  
Digital Topographic Data provided by Geomatics Canada, Natural Resources Canada  
Données topographiques numériques de Geomatics Canada, Ressources naturelles Canada

AIRBORNE GEOPHYSICAL SURVEY  
A quantitative gamma-ray spectrometric airborne geophysical survey of Southern Alberta, Southern Saskatchewan, and West-central Manitoba was completed by Fugro Airborne Surveys. The survey was flown from August 4th to September 27th, 2010 using a Cessna 208B Caravan aircraft (C-GNCA) and a Cessna 404 Caravan aircraft (C-FYAU). The nominal traverse line spacing was 5000 m, and the aircraft flew at a nominal terrain clearance of 150 m at an air speed between 200 and 270 km/h. Traverse lines were oriented 90°. The flight path was recovered following post-flight differential corrections to raw data recorded by a Global Positioning System.

AIRBORNE GEOPHYSICAL SURVEY  
Gamma-ray Spectrometric Data

The airborne gamma-ray measurements were made with Exploranium GR820 gamma-ray spectrometers. Each detector system consisted of fourteen 102 x 106 mm NaI (Tl) crystals. The main detector arrays consisted of twelve crystals (total volume 50.4 litres), shielded by the main arrays, were used to detect variations in background radiation caused by atmospheric radon. The systems constantly monitored the natural thorium peak for each crystal, and using a Gaussian least squares algorithm, adjusted the gain for each crystal.

Potassium is measured directly from the 1460 keV gamma-ray photons emitted by  $K^+$ , whereas uranium and thorium are measured indirectly from gamma-ray photons emitted by their parents; thus gamma-ray spectrometric measurements of uranium and thorium are referred to as equivalent uranium and equivalent thorium, i.e.  $\text{eU}$  and  $\text{eTh}$ . The energy windows used to measure potassium, uranium and thorium are, respectively, 1370 – 1570 keV, 1860 – 1860 keV, and 2410 – 2810 keV.

Gamma-ray spectra were recorded in one-second intervals. During processing, the spectra were energy calibrated, and the counts were accumulated into the windows described above. Counts from the radon decay chain in the 1680 – 1860 keV window and radiation at energies greater than 1800 keV were removed in the background subtraction. The raw counts were corrected for the time spent active, the distance to the aircraft and atmospheric radon decay products. The window data were then corrected for spectral scattering in the ground, air, and detectors. Corrections for deviations from the planned terrain clearance and for variation of temperature and pressure were made prior to conversion to ground concentrations of potassium, uranium and thorium, using factors determined from flights over the Breckenridge, Quebec calibration range. The factors for potassium, uranium, and thorium were, respectively, 74.38 cps%, 7.45 cps/ppm, and 4.826 cps/ppm for C-FYAU and 78.92 cps%, 6.07 cps/ppm, and 5.32 cps/ppm for C-GNCA.

Corrected data were filtered and interpolated to a 500 m grid interval. The results of an airborne gamma-ray spectrometer survey represent the average surface concentrations that are influenced by varying amounts of outcrop, overburden, vegetation cover, soil moisture and surface water. As a result the measured concentrations are usually lower than the actual ground concentrations. The natural air absorbed dose rate in nanograys per hour was computed from the measured concentrations of potassium, uranium and thorium. A more comprehensive description of airborne gamma-ray spectrometry surveys including technical specifications, instrumentation, calibration, data processing and interpretation is covered by Grasty et al. (1991), Grasty and Minty (1995), and the International Atomic Energy Agency (2003) and references therein.

## LEVÉ GÉOPHYSIQUE AÉROPORTÉ

Un levé géophysique aéroporté de spectrométrie de rayonnement gamma a été réalisé dans le sud de l'Alberta, le sud de la Saskatchewan, et le centre-ouest du Manitoba par la société Fugro Airborne Surveys. Le levé a été effectué du 4 au 27 septembre 2010, à l'aide d'un avion Cessna 208B Caravan (C-GNCA) et un Cessna 404 Caravan (C-FYAU). L'espace nominal des lignes de vol était de 5000 m, alors que l'altitude nominale de l'avion était de 150 m au-dessus du sol et que la vitesse était de 200 à 270 km/h. Les lignes de vol étaient orientées à 90°. La trajectoire de vol a été restituée par la mesure des données GPS après application des corrections différentes aux données brutes enregistrées avec un récepteur GPS.

## Données de spectrométrie gamma

Les mesures du rayonnement gamma ont été effectuées respectivement à l'aide d'un spectromètre gamma GR820 utilisant quatorze cristaux (volume total de 102 x 106 mm NaI (Tl) totale de 50.4 litres). Deux cristaux supplémentaires (volume total de 8.4 litres), protégés par le réservoir principal, ont été utilisés pour déceler les variations du rayonnement thorium émis par le radon atmosphérique. Le dispositif permettait de faire un suivi constant des pics de thorium pour chacun des cristaux et, au moyen d'un algorithme d'ajustement gaussien par la méthode des moindres carrés, de compenser le gain pour chacun des cristaux.

Le potassium est mesuré directement d'après les photons gamma de 1460 keV émis par le  $K^+$ ; tandis que l'uranium et le thorium sont mesurés indirectement d'après les photons gamma émis par des produits de filtration ( $\text{Bi}^{137}$  pour l'uranium et  $\text{Tl}^{130}$  pour le thorium). Bien que ces radionucléides père soient trouvés loin dans leur chaîne respective de désintégration, on presume qu'ils sont en équilibre avec leur radionucléide père; ainsi, les mesures spectrométriques du rayonnement gamma de l'uranium et du thorium sont désignées comme des équivalents d'uranium et des équivalents de thorium, soit  $\text{eU}$  et  $\text{eTh}$ . Les plages d'énergie utilisées pour mesurer le potassium, l'uranium et le thorium sont respectivement de 1370 à 1570 keV, de 1860 à 1860 keV et de 2410 à 2810 keV.

Les spectres du rayonnement gamma ont été enregistrés pendant des intervalles d'une seconde. Pendant le traitement, les spectres ont été soumis à un étalement énergétique et les coups ont été cumulés dans les plages décrites ci-dessus. Les coups obtenus à l'aide des capteurs de radon ont été enregistrés dans la plage de 1680 à 1860 keV et le rayonnement à des énergies supérieures à 3000 keV a été étaillé dans la plage du rayonnement thorium. Les corrections ont été appliquées pour éliminer les effets de la radioactivité atmosphérique et au rayonnement cosmique de la radioactivité et des produits de désintégration du radon atmosphérique. Les données pour les plages ont ensuite été corrigées pour tenir compte de la diffusion spectrale dans le sol, l'air, et les capteurs. Les corrections pour les écarts à la hauteur de vol prévue et les variations de température et de pression ont été effectuées avant la conversion en concentrations équivalentes au sol du potassium, de l'uranium et du thorium, en utilisant des facteurs déterminés par une comparaison avec les résultats obtenus lors de vols effectués dans une bande d'étalement à Breckenridge, Québec. Les facteurs déterminés pour le potassium, l'uranium et le thorium étaient respectivement de 76.92 cps%, 6.32 cps/ppm, et 5.32 cps/ppm pour C-GNCA et de 74.39 cps%, 7.46 cps/ppm, et 4.826 cps/ppm pour C-FYAU.

Un filtre a été appliqué aux données corrigées, qui ont ensuite été interpolées suivant une grille à maille de 500 m. Les résultats d'un levé aérien de spectrométrie gamma représentent les concentrations moyennes à la surface, qui sont obtenues par les étendues, les intervalles, des indicateurs de qualité et de l'ordre de chaque ligne de vol. Pour les concentrations moyennes, les concentrations mesurées sont généralement plus faibles que les concentrations mesurées dans le substratum rocheux. Le débit naturel de la dose absorbée par l'air, en nanograys à l'heure, a été déterminé à partir des concentrations de potassium, d'uranium et de thorium. Une description plus complète de la spectrométrie aéroportée, incluant les spécifications techniques, l'instrumentation, les techniques de calibration, le traitement et l'interprétation des données a été présentée par Grasty et coll., (1991), Grasty et Minty (1995), et par l'Agence internationale de l'Energie Atomique (2003).

## References/Références

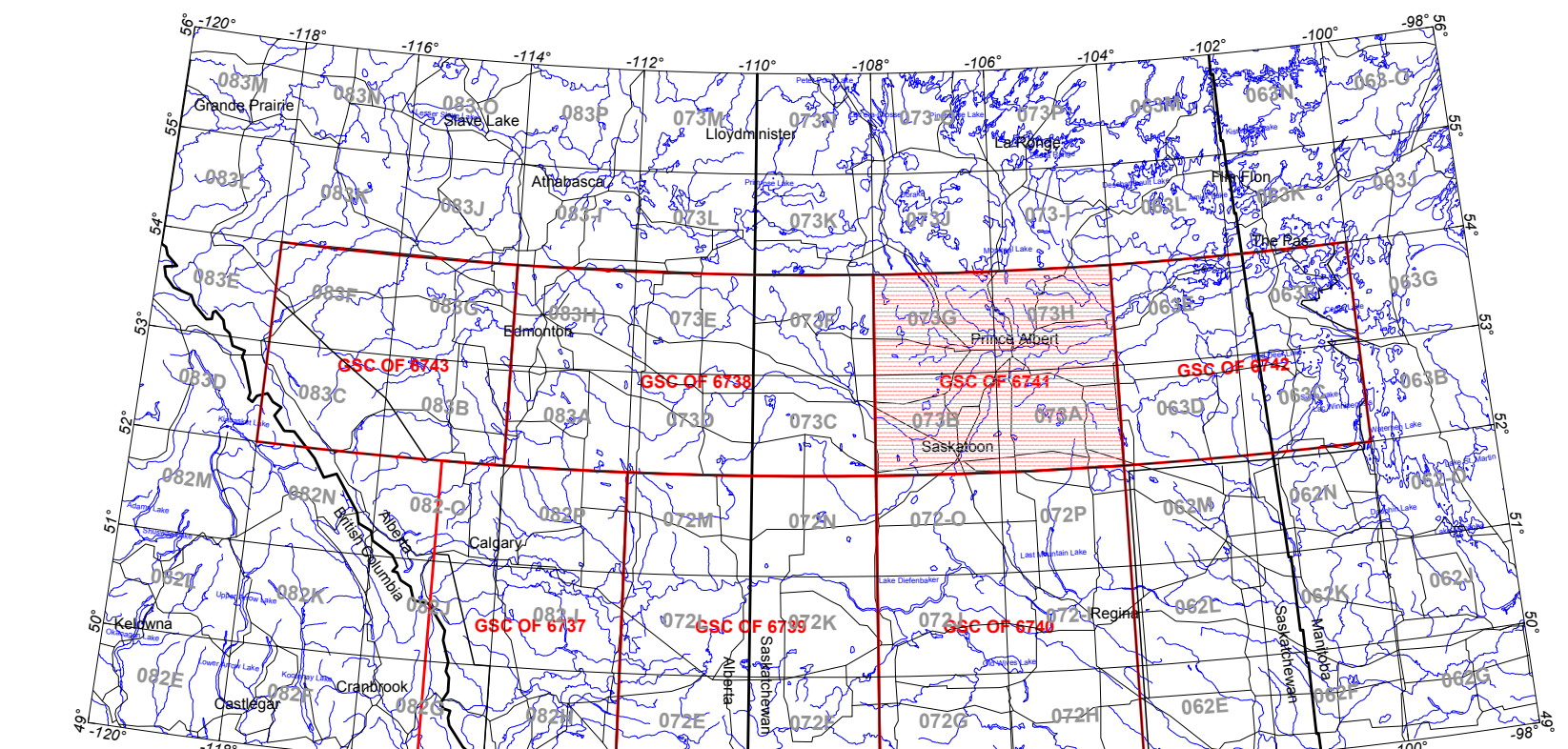
Grasty, R.L., Mellander, H. and Parker, M. (1991) Airborne Gamma-ray spectrometer surveying: International Atomic Energy Agency, Technical Report Series 323, Vienna, 97 p.

Grasty, R.L. and Minty, B.R.S. (1995) A guide to the technical specifications for airborne gamma-ray surveys; Australian Geological Survey Organisation, Record 1995/60, 89 p.

International Atomic Energy Agency, 2003, Guidelines for radioelement mapping using gamma ray spectrometry data. IAEA-TECDOC-1363, 173p.

## PLANIMETRIC SYMBOLS / SYMBOLES PLANIMÉTRIQUES

Roads		Routes
Railway		Chemin de fer
Power Line		Ligne de transport d'énergie
Drainage		Drainage
Flight path		Ligne de Vol

AIRBORNE GEOPHYSICAL SURVEY, PRINCE ALBERT, SASKATCHEWAN  
LEVÉ GÉOPHYSIQUE AÉROPORTÉ, PRINCE ALBERT, SASKATCHEWAN

## MAP SHEET SUMMARY / SOMMAIRE DES FEUILLETS

## GSC Sheet / CGC Feuillet MAP / CARTE

1. Natural Air Absorbed Dose Rate  
Taux d'absorption naturel des rayons gamma dans l'air
2. Potassium
3. Uranium
4. Thorium
5. Uranium / Thorium
6. Uranium / Potassium
7. Thorium / Potassium
8. Ternary Radiometric Map  
Diagramme ternaire des radioéléments

OPEN FILE  
DOSSIER PUBLIC

## 6741

GEOLOGICAL SURVEY OF CANADA  
COMMISSION GÉOLOGIQUE DU CANADA  
2011

SHEET 2 OF 2  
FEUILLET 2 DE 2

Recommended citation:  
Carson, J.M., Ford, K.L., Hefford, S., Fortin, R. and Harvey, B.J.A., 2011.  
Geophysical Series, NTS 73 A, 73 B, 73 G, and 73 H,  
Airborne geophysical survey, Prince Albert, Saskatchewan;  
Commission géologique du Canada, Dossier public 6741;  
scale 1:500 000.

Notation bibliographique conseillée:  
Carson, J.M., Ford, K.L., Hefford, S., Fortin, R. and Harvey, B.J.A., 2011.  
Série géophysique, NTS 73 A, 73 B, 73 G et 73 H,  
Levé géophysique aéroporté, Prince Albert, Saskatchewan;  
Commission géologique du Canada, Dossier public 6741;  
échelle 1:500 000.